

**Сибирское отделение Российской Академии наук
Институт ядерной физики им. Г.И. Будкера**

**Установка для прецизионных магнитных измерений
мультиполей SLS**

В.Н. Корчуганов, С.Ф. Михайлов, И.Н. Чуркин, А.Г. Стешов,
Е.П. Семенов, А.Б. Огурцов, О.Б. Голубенко, Е.И. Антохин,
В.В. Деменев, Д.А. Шведов, А.В. Бублей, Б.А. Довженко,
Д.А. Скоробогатов

Институт Ядерной Физики им. Г.И. Будкера СО РАН
630090, Новосибирск, Россия

В.Н. Корчуганов, С.Ф. Михайлов, И.Н. Чуркин,
А.Г. Стешов, Е.П. Семенов, А.Б. Огурцов,
О.Б. Голубенко, Е.И. Антохин, В.В. Деменев,
Д.А. Шведов, А.В. Бублей, Б.А. Довженко,
Д.А. Скоробогатов

**Rotating coil System for precision Magnetic measurement
of SLS storage ring multipoles**

В.Н. Корчуганов, С.Ф. Михайлов, И.Н. Чуркин, А.Г. Стешов,
Е.П. Семенов, А.Б. Огурцов, О.Б. Голубенко, Е.И. Антохин,
В.В. Деменев, Д.А. Шведов, А.В. Бублей, Б.А. Довженко,
Д.А. Скоробогатов

Budker Institute Of Nuclear Physics SB RAS
630090, Novosibirsk, Russia

The magnetic measurement system (RCS) design is described. The measurement technique and the sources of measurement errors are concerning in detail. The descriptions of control programs and measurement technology are given.

ИЯФ 2000-72

**НОВОСИБИРСК
2000**

©Институт ядерной физики им. Г.И. Будкера СО РАН

Введение

В PSI (Paul Scherer Institute, Швейцария) строится синхротронный источник SLS (Swiss Light Source) на энергию 2.4 ГэВ, периметром 280 м. SLS состоит из линака на 100 МэВ, бустерного кольца и накопительного кольца. Накопительное кольцо содержит 180 квадрупольных и 120 сектупольных линз и 36 диполей. В ИЯФ были изготовлены мультиполи для накопительного кольца: симметричные и несимметричные квадрупольные линзы с длинами 200, 320, 440 мм и симметричные и несимметричные сектупольные линзы с корректирующими катушками с длиной 200 мм.

Особенностью SLS являются очень жесткие требования на фокусировку электронного пучка, что приводит к повышенным требованиям на точность выставки элементов магнитной системы. Кольцо синхротрона состоит из 12 секторов, в каждом секторе по 4 гирдера, отличающиеся по длине и набору элементов. В этом синхротроне положение магнитной оси отдельных мультиполей не регулируется. Мультиполи группами по 5-8 элементов устанавливаются на рабочие гирдеры по базовым поверхностям вдоль идеальной оси (377,000 мм по высоте и 15,000 мм по горизонтали) с высокой точностью (таблица 1, рис. 1).

Базовыми поверхностями гирдера являются горизонтальные поверхности (3), на которые становятся 4 опоры мультиполя (4), и вертикальная поверхность шпоночного паза (2), к которой мультиполь прижимается. Положение мультиполя на гирdreе фиксируется горизонтальными толкателями (6) и вертикальными прижимами (5).

Измерительная система должна обеспечивать точность измерения гармоник магнитного поля относительно основной гармоники не хуже $2 \cdot 10^{-4}$ для квадрупольей и $5 \cdot 10^{-4}$ для сектуполей, точность измерения положения магнитной оси мультиполя ± 5 мкм, точность измерения угла между магнитной и геометрической плоскостью мультиполя ± 0.35 мрад.

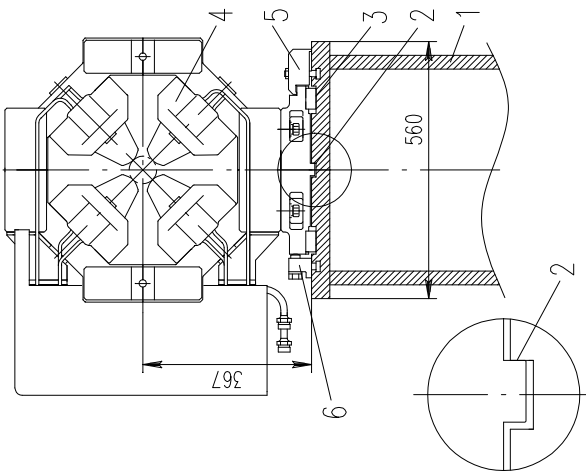


Рис. 1. Квадруполь накопительного кольца SLS на гирdre: 1 – гирдер, 2 – вертикальная базовая поверхность (шпоночный паз), 3 – горизонтальная базовая поверхность, 4 – квадруполь, 5 – вертикальный прижим, 6 – горизонтальный толкатель.

Таблица 1. Основные требования на параметры мультиполей

	Квадрупольные линзы	Сектупольные линзы
Магнитная сила	20 T/m	640 T/m^2
$\pm \Delta X$	$\pm 30 \text{ мкм}$	$\pm 30 \text{ мкм}$
$\pm \Delta Y$	$\pm 30 \text{ мкм}$	$\pm 30 \text{ мкм}$
$\pm \Delta \Phi$	$\pm 0.35 \text{ мрад}$	$\pm 0.35 \text{ мрад}$
$\sigma_{(\Delta B/B)}$ при $R=28 \text{ mm}$	$2.5 \cdot 10^{-4}$	$5 \cdot 10^{-4}$

Установка для магнитных измерений мультиполей SLS

1. Основы теории

Измерения положения магнитной оси, угла и гармоник проводились с помощью хорошо известного метода радиальной магнитного поля определялось специальным набором холловских датчиков.

Радиальная катушка при вращении в апертуре мультиполя вокруг оси измеряет θ -составляющую магнитного поля.

$$B = B_\theta = \sum_n (-A_n \cdot \sin(n\theta) + B_n \cdot \cos(n\theta)) \cdot r^{n-1}$$

Наводимое на измерительную катушку напряжение:

$$U = -\frac{d\phi}{dt} = -\frac{d(\int B \cdot dS)}{dt}$$

$$U = -L \cdot \frac{d}{dt} \sum_n (-A_n \cdot \sin(n\theta) + B_n \cdot \cos(n\theta)) \cdot \frac{R^n}{n}$$

В измерительной системе использовалось пошаговое вращение катушки, в этом случае наводимое напряжение:

$$U = L \cdot \frac{d\theta}{dt} \cdot \sum_n (A_n \cdot \cos(n\theta(t)) + B_n \cdot \sin(n\theta(t))) \cdot R^n$$

$$I = \int U \cdot dt = L \cdot \int \frac{d\theta}{dt} \cdot \sum_n (A_n \cdot \cos(n\theta(t)) + B_n \cdot \sin(n\theta(t))) \cdot R^n \cdot dt$$

Переходя к интегрированию по углу:

$$I(\theta + d\theta) = L \cdot \int_{\theta}^{\theta+2d\theta} \sum_n R^n \cdot (A_n \cdot \cos(n\theta) + B_n \cdot \sin(n\theta)) \cdot d\theta \quad (1)$$

$$I(\theta + d\theta) = 2L \cdot \sum_n R^n \cdot \frac{\sin(n \cdot d\theta)}{n} (A_n \cdot \cos(n(\theta + d\theta)) + B_n \cdot \sin(n(\theta + d\theta)))$$

Каждому значению интеграла (1) ставится в соответствие угол катушки ($\theta + d\theta$).

Получаемые угловые зависимости раскладываются в ряд Фурье по гармоникам (B_n, A_n), которые отражают свойства магнитного поля.

2. Общий вид установки и основные элементы

Для проведения измерений параметров мультиполей SLS в ИЯФ был создан специальный стенд магнитных измерений, аналогичная

установка была поставлена в SLS (PSI) для проведения окончательных магнитных измерений мультиполей перед выставкой магнитов на кольцо.

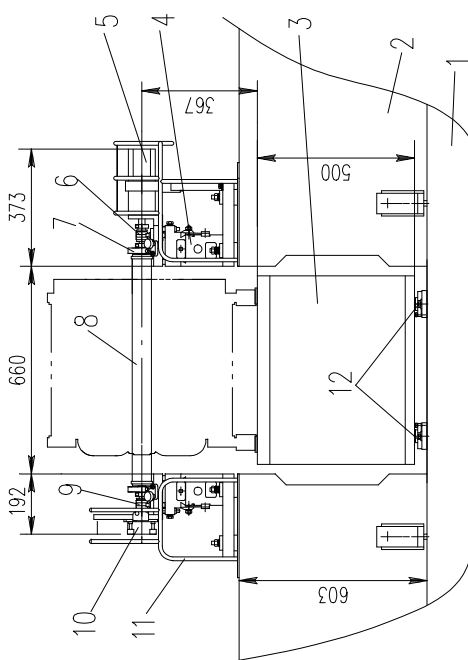


Рис. 2. Общий вид измерительного стенда:

1 – бетонное основание, 2 – бетонный блок, 3 – измерительный гирдер, 4 – опора катушки, 5 – шаговый двигатель, 6 – соединительная муфта шагового двигателя, 7 – ролик, 8 – измерительная катушка, 9 – соединительная муфта измерителя угла поворота, 10 – измеритель угла поворота, 11 – защитное ограждение, 12 – сферические опоры гирдера.

Установки абсолютно аналогичны, существуют лишь небольшие различия в условиях размещения систем (рис.2). На бетонном основании (1) жестко закреплены 2 бетонных блока (2), между которыми установлен измерительный гирдер (3) на 4-х сферических опорах (12). В ИЯФ бетонное основание установки расположено на песчаной подушке, демпфирующей механические колебания пола. В SLS бетонное основание стоит на 3-х специальных опорах на общем бетонном полу. Гирдер выставляется в горизонтальный уровень и закрепляется к основанию. Измерения мультиполей в ИЯФ проводились на гирдере из мягкой стали, а в PSI на двух гирдерах: мягким и с каленными вставками по базовым поверхностям. Каленые вставки препятствуют износу базовых поверхностей гирдера при многократных постановках мультиполей. Оба типа гирдеров для измерительных стендов были изготовлены в Швеции. Точность изготовления гирдера по базовым поверхностям ~5 мкм.

Опоры (4) для измерительной катушки установлены по обе стороны гирдера на бетонные блоки (2). Опоры катушки имеют возможность регулировки по высоте (4мм) и по горизонтали (± 5 мм), что позволяет совместить ось вращения катушки с положением идеальной оси.

Измеряемый мультиполюс устанавливается на гирдер по базовым поверхностям и катушка вводится в апертуру матрицы (Приложение 1).

Катушка с роликами устанавливается на специальные призмы, расположенные на опорах. Соединительные муфты (6,9) обеспечивают передачу кругового движения от шагового двигателя (5) к измерительной катушке (8) и далее к измерителю угла поворота (10). Муфты гасят перпендикулярные механические колебания при несоосности валов шагового двигателя, катушки и измерителя угла.

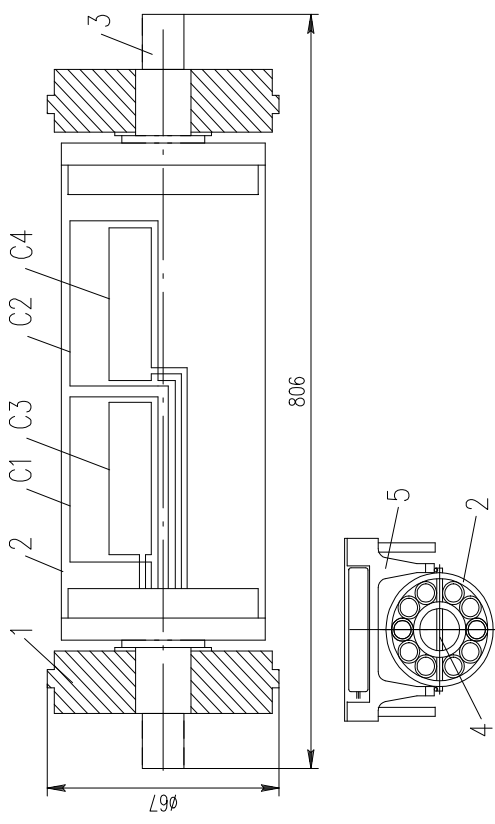


Рис. 3. Измерительная катушка:

1 – ролик, 2 – защитный текстолитовый корпус, 3 – вал, 4 – многослойная текстолитовая пластина с катушками, 5 – уровень.

Измерительная катушка состоит из четырех независимых секций, содержащих по 8 витков, выполненных на многослойном фольгированном текстилите с точностью 10 мкм (рис3). Секции С1 и С2 имеют внешний размер R и длину $1/2 L$ каждая, секции С3 и С4 имеют внешний размер $1/2 R$ и те же длины. Включая секции полного и половинного радиуса по разностной схеме можно компенсировать вклад в сигнал основной гармоники мультиполюса и увеличить точность измерения остальных гармоник (подробнее это описано ниже). Наличие

в конструкции катушки двух секций одного радиуса расположенных последовательно по длине катушки позволяет проводить магнитные измерения мультиполюса вдоль "по половинкам" используя секции С1–С3 и С2–С4, это позволяет получить отклонение магнитной оси мультиполюса в продольном направлении.

Катушка выставляется по горизонтальному уровню гирдера с помощью специального механического уровня (5). Существует необходимость периодически проводить калибровку измерительной катушки, то есть определять угол между механической плоскостью катушки, на которую устанавливается уровень (совпадает с плоскостью гирдера) и электрической плоскостью катушки, определяемой расположением витков. Калибровку необходимо проводить для каждого типоразмера мультиполюса потому, что этот угол может меняться вдоль катушки, подробнее калибровка катушки описана в Приложении 2.

Сигналы со всех секций катушки поступают в усилитель/коммутатор, обеспечивающий требуемую схему измерения, быстро действие и коэффициент усиления. Блок позволяет коммутировать 8 выходов восемью способами для получения нужной конфигурации катушек, для суммирования или вычитания сигналов с измерительных катушек. Кроме того, позволяет выбирать коэффициенты сложения входных сигналов для обеспечения квадрупольной или сектупольной компенсации. Усиление сигналов производится по двум каналам, для одновременного отслеживания основного и скомпенсированного сигнала. В каждом канале имеется 4 градации коэффициента усиления: 10, 100, 1000, 10000. (Схема усилителя-коммутатора в Приложении 3.) Для вращения катушки используется шаговый двигатель SigPositec с редуктором 1:10, измеритель угла поворота ROD-250. Шаговый двигатель обеспечивает точность вращения до 0.6 миллирадиан, а измеритель угла поворота измеряет угловое положение катушки с точностью 0.3 микрорадиан. Сигналы с катушек снимаются 8-ми канальным 12 разрядным АЦП с минимальным временем измерения 10 мкс/канал.

Таким образом, катушка вращается шаговым двигателем, с помощью измерителя угла поворота контролируется ее положение, сигнал с катушки через усилитель коммутатор поступает на АЦП, встроенным в PC совместимую ЭВМ. Управляющая программа работает в среде MS-DOS и позволяет задавать ток питания обмоток мультиполюса, коммутацию секций измерительной катушки, параметры вращения катушки, контролирует угловое положение катушки, снимает оцифрованное напряжение. После проведения измерений этой же

программой можно математически обработать результаты и получить гармонический состав магнитного поля, положение магнитной оси, угол наклона магнитной плоскости мультиполя. Подробнее программа описана в Приложении 4.

Точная выставка оси измерительной катушки относительно базовых поверхностей гирдера: 377,000 мм от горизонтальной и 15,000 мм от вертикальной производится опорами катушки с помощью механического шаблона (Рис.4). Два комплекта шаблонов были изготовлены для стендов в ИЯФ и PSI.

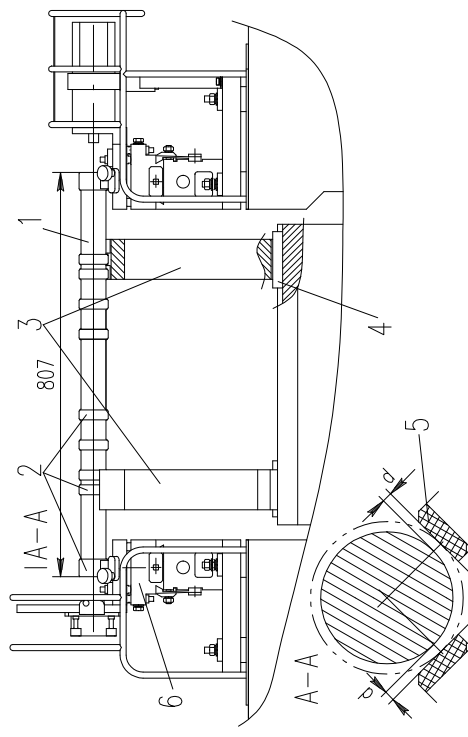


Рис. 4. Выставка опор катушки по механическому шаблону:

1 – вал, 2 – точные диаметры, 3 – шаблонные стойки, 4 – разрезная шпонка, 5 – призменные поверхности опор катушки, 6 – опоры катушки.

Шаблонный комплект состоит из двух стоек (3) и вала (1). Стойки устанавливаются на измерительный гирдер на расстоянии ~30 мм от краев гирдера по опорным поверхностям. Прижим стойки к поверхности шпоночного паза гирдера осуществляется с помощью разрезной шпонки (4), обеспечивающей вынос поверхности паза, и специальных толкателей.

На призменные поверхности стоек опускается вал, имеющий несколько высокоточных диаметров (2). Крайние диаметры вала находятся над призменными поверхностями опор для измерительной катушки. Контроль за положением опор относительно вала шаблона осуществляется измерением расстояния d (см. сечение А-А) с помощью микрометрических индикаторов и концевых мер. (Приложение 5.)

3. Методика измерений и расчет основных характеристик магнита

При вращении катушки внутри одного шага считывается напряжение, наводимое на катушку, всего ~ 4000 точек, шаг $2d\theta = 5^\circ$, количество шагов – 85. Получаемая осциллограмма напряжения интегрируется, и полученная величина соответствует углу поворота $\theta + d\theta$. Вводится Sin-поправка (см. выражение 1), связанная с особенностю пошагового измерения.

Кривая обрабатывается кубичным сплайном, для чего все углы поворота приводятся к среднему углу и вводится поправка, учитывающая отличие текущего угла от среднего. После этой интерполяции проводится разложение функции в ряд Фурье по гармоникам.

Для увеличения точности измерений применяется разностная схема включения катушек – внешняя (большая) катушка включается навстречу внутренней (малой) катушке, сигнал с которой усиливается так, чтобы разность для основной компоненты поля была минимальной. В этом случае точность измерения гармоник возрастает примерно в 100–1000 раз.

В разностном сигнале угловое отклонение между большой и маленькой катушками (ϕ) незначительно и особенностей вычисления коэффициентов гармоник.

$$I_d = I_1 - I_s = 2L \sum_n \frac{\sin(n \cdot d\theta)}{n} \left(A_n \cos(n(\theta + d\theta)) + B_n \sin(n(\theta + d\theta)) \right) R_1^n - \\ - \left(A_n \cos(n(\theta + d\theta + \phi)) + B_n \sin(n(\theta + d\theta + \phi)) \right) R_s^n.$$

Для случая $R_s = R_1/2$:

$$A_n^* = A_n \frac{1}{1 - \alpha/2^n}, \quad B_n^* = B_n \frac{1}{1 - \alpha/2^n},$$

где A_n и B_n – коэффициенты ряда Фурье при разложении разностного сигнала, а A_n^* и B_n^* – реальные коэффициенты гармоник, α – коэффициент усиления сигнала с малой катушкой. Для квадрупольных магнитов $\alpha \approx 4$, для сектупольных магнитов $\alpha \approx 8$.

$$x_q = R_1 \frac{B_1}{B_2}, \quad y_q = R_1 \frac{A_1}{B_2}; \quad x_s = \frac{R_1}{2} \frac{B_2}{B_3}, \quad y_s = \frac{R_1}{2} \frac{A_2}{B_3}.$$

Координаты магнитной оси мультиполя определяются из младших коэффициентов гармонического разложения (A_1 и B_1 – для квадрупольей, A_2 и B_2 – для сексупольей).

При определении вертикального положения магнитной оси учитывалась температурная поправка.

Для серийных магнитов положение магнитной оси пересчитывалось для температуры 24 градуса с учетом температурных полей стенда при механической выставке ($T_{pattern}$, $T_{support1}$, T_{beton1} , $T_{girder1}$) и магнитных измерений (T_{magnet} , $T_{support2}$, T_{beton2} , $T_{girder2}$), а также температуры $T_{pattern0}$ (21°C для ИЯФ и 23°C для SLS), при которой производилось измерение высоты механического шаблона.

$$\begin{aligned} \Delta L = & H_{pattern} \cdot \alpha_{pattern} \cdot (T_{pattern} - T_{pattern0}) + \\ & H_{support} \cdot \alpha_{support} \cdot (T_{support2} - T_{support1}) + \\ & H_{beton} \cdot \alpha_{beton} \cdot (T_{beton2} - T_{beton1}) - \\ & H_{girder} \cdot \alpha_{girder} \cdot (T_{girder2} - T_{girder1}) - \\ & H_{magnet} \cdot \alpha_{magnet} \cdot (T_{magnet} - T_{normal}). \end{aligned}$$

Коэффициент линейного расширения был выбран одинаковым для всех элементов $\alpha = 12 \cdot 10^{-6} \text{ 1/K}$.

Для серийных магнитов положение магнитной оси пересчитывалось для температуры 24 градуса с учетом температурных полей стенда при механической выставке и магнитных измерений, а также температуры, при которой производилось измерение высоты механического шаблона.

Угол магнитной плоскости мультиполя относительно механической плоскости определялся из основного сигнала:

$$\phi_q = \operatorname{arctg} A_2 / B_2, \quad \phi_s = \operatorname{arctg} A_3 / B_3.$$

Для определения угла мультиполя необходимо знать калибрю вочный угол измерительной катушки. Значение этого угла вводится в программу математической обработки измерений и периодически проверяется по специальной методике (Приложение 2).

4. Точность измерений

Существует несколько источников погрешностей при измерении параметров мультиполей. На измерения оказывает сильное влияние нестационарность процессов во время измерения: нестабильность

источника, изменение температуры магнита, механические колебания и вибрации. Известно, что нестабильность источника питания и механические причины приводят к искашению коэффициентов, наличие температурного градиента, вызванного нагревом (охлаждением) полюсов магнита обмотками, сильно изменяет измеряемый угол наклона магнитной плоскости мультиполя (Приложение 6). Кроме того, существуют ограничения на точность измерений, связанные с механической точностью изготовления и юстировки элементов установки.

Источники систематических ошибок помечены *.

1) Механическая точность изготовления элементов:

- a) * точность изготовления шаблонов: $\pm 1 - 2 \mu\text{m}$ для положения оси (в вертикальном и горизонтальном направлениях)
- b) * точность изготовления диаметров вала: $\pm 2 \mu\text{m}$, что вызывает смещение позиции оси $\pm 1.5 \mu\text{m}$
- c) * точность изготовления диаметров роликов и валов измерительной катушки $\pm 2 \mu\text{m}$ ($\pm 2 \mu\text{m}$ точность изготовления внешнего и внутреннего диаметра ролика). Во-первых, это дает смещение вертикального положения оси на $\pm 2 \mu\text{m}$ при установки измерительной катушки на призмы опор. Во-вторых, это приводит к механическим вибрациям. $10 \mu\text{m}$ вибрации (вал в ролике, колебание катушки) дают погрешность $0.2 \cdot 10^{-4}$ для коэффициентов гармоник и $\pm 0.6 \mu\text{m}$ для позиции оси.
- d) * точность механического уровня $\sim 0.05 \mu\text{rad}$.

2) Точность выставки механики:

- a) * выставка опор катушки с помощью точного механического шаблона $\pm 2.5 \mu\text{m}$ для зазоров между призмой и точным диаметром вала и, соответственно $\pm 1.5 \mu\text{m}$ для позиции оси. При изменении правил выставки механики эта ошибка становится случайной.
- b) * точность установки разрезной шпонки на гирдере, точность изготовления плоскости шпонки дает $\pm 2 \mu\text{m}$ смещения позиции оси по горизонтали. Если условия выставки шпонки не сохраняются (например разные пользователи) эта ошибка может стать случайной.

c) Уровень на измерительной катушке выставляется с точностью $\sim 0.05 - 0.1 \mu\text{rad}$. Мы можем сделать эту ошибку дважды при калибровке катушки. Суммарная ошибка может быть $\sim 0.1 - 0.2 \mu\text{rad}$.

d) Точность измерения температуры различных элементов $\sim 0.1^\circ$, это дает $\pm 1 \mu\text{m}$ для вертикальной позиции оси.

3) Точность работы оборудования:

a) * точность определения угла определителем угла поворота

$0.3 \mu\text{rad}$

b) * линейность усилителя 10^{-4} и дает преиебрежимо малую погрешность.

c) * 12-ти разрядное АЦП дает точность измерения сигнала $\sim 5 \cdot 10^{-4}$ для полной шкалы.

d) * Нестабильность источника питания $\sim 10^{-4}$, что дает для коэффициентов гармоник погрешность $\sim 0.2 \cdot 10^{-4}$ и $\pm 0.6 \mu\text{m}$ для позиции оси (для квадрупольей и $0.3 \mu\text{m}$ для сектуполей).

e) нестабильность температуры (нагрев или охлаждение в течении измерительного цикла). Изменение температуры магнита на $5-10^\circ\text{C}$ в течении измерительного цикла дает изменение угла наклона на $0.3 - 0.5 \mu\text{rad}$ (даные экспериментов). Термостабильность позволяет существенно понизить погрешность измерения угла до $\sim 0.02 - 0.05 \mu\text{rad}$.

4) Математическая обработка

a) Экстраполяция кубическим сплайном и FFT: случайная ошибка уменьшается в ~ 60 раз.

b) При использовании разностной схемы включения катушек точность определения коэффициентов гармоник возрастает в $100 - 1000$ раз до $(4 - 10) \cdot 10^{-7}$.

Таблица 2. Основные требования на параметры мультиполей

Коэф-ты гармоник	Воспроизведимость	Точность	Чувствительность
гармоник	$\pm 0.5 \cdot 10^{-4}$	$\pm 0.5 \cdot 10^{-4}$	квадрупольи $0.3 \cdot 10^{-4}$ сектуполи $0.5 \cdot 10^{-4}$
Положение оси	$\pm 2 \mu\text{m}$	$\pm(8 - 10) \mu\text{m}$	$1 \mu\text{m}$
Угол наклона	$0.05 \mu\text{rad}$	$\pm 0.35 \mu\text{rad}$	$0.03 \mu\text{rad}$

5. Статистические данные по измерениям параметров мультиполей в ИЯФ и в PSI

Данные измерений, проведенные как в ИЯФе, в процессе их производства для контроля, так и перед непосредственным установкой мультиполей на гирдера в SLS, показывают, что параметры мультиполей удовлетворяют заданным требованиям и имеется хорошее совпадение между измерениями, выполненными в ИЯФе и SLS.

В таблице представлено сравнение средних значений и стандартных отклонений положений магнитных осей и углов наклона магнитной плоскости каждой группы мультиполей, измеренных в ИЯФ и SLS.

Тип сектуполя	$\langle x \rangle \pm \sigma_x$, BINP (SLS), μm	$\langle y \rangle \pm \sigma_y$, BINP (SLS), μm	$\langle \varphi \rangle \pm \sigma_\varphi$, BINP (SLS), mrad
SR	1 ± 11 (3 ± 12)	8 ± 9 (18 ± 11)	$-0,02 \pm 0,19$ ($-0,07 \pm 0,26$)
SRW	0 ± 9	4 ± 11 (8 ± 11)	$0,08 \pm 0,18$ ($-0,02 \pm 0,28$)
QA	-1 ± 16 (0 ± 17)	8 ± 13 (19 ± 14)	$0,126 \pm 0,16$ ($-0,0 \pm 0,16$)
QAW	-4 ± 8 (-7 ± 11)	6 ± 12 (14 ± 14)	$-0,02 \pm 0,20$ ($0,02 \pm 0,17$)
QB	2 ± 14 (2 ± 14)	8 ± 11 (13 ± 12)	$-0,02 \pm 0,17$ ($0,00 \pm 0,17$)
QBW	-3 ± 11 (-4 ± 17)	5 ± 15 (5 ± 18)	$-0,02 \pm 0,21$ ($0,01 \pm 0,16$)
QC	-2 ± 11 (1 ± 12)	7 ± 11 (14 ± 12)	$0,03 \pm 0,17$ ($0,08 \pm 0,15$)
QCW	-2 ± 14 (0 ± 12)	-2 ± 14 (2 ± 12)	$-0,09 \pm 0,16$ ($0,03 \pm 0,13$)

В таблице приведены по типам мультиполей параметры магнитных полей (основные симметричные коэффициенты гармоник и коэффициенты гармоник, определяемые геометрическими точностями сборки).

Тип квадру- поля	$\langle B_1 \rangle$ $\pm \sigma_{B_1}$	$\langle A_1 \rangle$ $\pm \sigma_{A_1}$	$\langle B_4 \rangle$ $\pm \sigma_{B_4}$	$\langle A_4 \rangle$ $\pm \sigma_{A_4}$	$\langle B_5 \rangle$ $\pm \sigma_{B_5}$	$\langle B_9 \rangle$ $\pm \sigma_{B_9}$	$\langle B_{15} \rangle$ $\pm \sigma_{B_{15}}$	$\langle B_{21} \rangle$ $\pm \sigma_{B_{21}}$
SR	-1,05 ±0,76	0,08 ±0,63	0,03 ±0,52	-0,38 ±0,49	0,17 ±0,35	-0,41 ±0,08	2,68 ±0,05	-2,37 ±0,03
SRW	-1,12 ±0,83	0,07 ±1,18	0,03 ±0,44	-0,46 ±0,48	-0,52 ±0,36	-0,29 ±0,08	2,63 ±0,05	-2,32 ±0,04

Установки для магнитных измерений, изготовленные в ИЯФ, позволяют проводить прецзионные измерения параметров магнитного поля мультиполей, аналогичных мультиполюм накопительного кольца SLS. В случае необходимости возможна небольшая доработка установки под другие размеры магнитов.

Приложение 1

Магнитные измерения

1) Подготовка гирдера к установке мультиполя.

- Промыть рабочие поверхности (шпоночный паз, основания).
- Установить толкатели на заданные места (в зависимости от типа мультиполя). Толкатели с беспружинными головками установить со стороны забора (коммутации магнитов), толкатели с укороченными пружинными головками установить с противоположной стороны.
- Установка магнита на гирдер.
 - Застропить магнит на кран через таль.
 - Поднять магнит и переместить к стенду.
 - Промыть рабочие поверхности магнита (основания, шпоночный "ключ"), протереть пыльные и грязные поверхности магнита.
 - Выставить магнит над гирдером.
 - Начисто протереть рабочие поверхности магнита и гирдера.
 - Смазать поверхности оснований магнита маслом для обеспечения легкого перемещения по гирдеру.
 - Выставить магнит над гирдером между толкателями.
 - Установить под магнит домкраты (количество зависит от типа магнита).
- Юстировка магнита на гирдере и коммутация.
 - Опустить магнит на гирдер, прижимая его к толкателям у забора, используя домкраты (можно и без домкратов).
 - Отпустить толкатели на свободной стороне магнита.
 - Дотолкать магнит до касания шпоночного "ключа" шпоночного паза гирдера с помощью толкателей с беспружинными головками магнита.
 - Ослабить толкатели и сменить головки на укороченные пружинные головки.

6. Заключение

Магнитные измерения мультиполей накопительного кольца SLS проводились дважды в ИЯФ и PSI на описанной установке. Часть рабочих гирдеров накопительного кольца с установленными на них мультиполами проверялись на специальной измерительной системе (MJG), на которой определялось положение магнитной оси мультиполей. Все изготовленные мультиполы были приняты заказчиком и установлены в кольцо.

5. Выставить магнит по шпоночному пазу гирдера с помощью толкателей с укороченными пружинными головками. Необходимо использовать специинструмент (калибр).
 6. Проконтролировать зазоры между “ключами” и шпоночным пазом гирдера, между основаниями магнита и рабочей поверхностью гирдера.
 7. Произвести коммутацию вольяного охлаждения магнита.
 8. Произвести коммутацию электрического питания с включением в цепь шунта.
- 4) Магнитные измерения.*
- 1 Измерения вращающейся катушки:
 - a) установить катушку на призмы, предварительно подняв кодер на стойке;
 - b) закрепить сильфонные муфты на валах катушки и кодера. Муфту на вале мотора слегка зафиксировать;
 - c) повернуть катушку так, чтобы места под уровень оказались сверху;
 - d) установить фиксаторы для ограничения поворота катушки;
 - e) установить уровень на специальные посадочные места на катушке;
 - f) с помощью специинструмента выставить катушку в уровень с рабочей поверхностью гирдера;
 - g) запустить измерительную программу (запись нулевого угла для кодера);
 - h) снять уровень, убрать фиксаторы, закрепить муфту на валу мотора;
 - i) провести цикл нормализации магнита по току;
 - j) установить 120 А и запустить программу на измерение;
 - k) получить положение оси магнита Δ_x, Δ_y и угол между магнитной и механической плоскостями Φ . В случае, если параметры неудовлетворительные, магнит снимается со стенда (см. п.5) для выполнения необходимых доработок. Если параметры удовлетворяют требованиям, то см. ниже;
 - 1) провести магнитные измерения и получить гармонические коэффициенты при следующих токах: 40, 80, 100, 120, 130, 140 А. Для сектуполей необходимо провести дополнительные измерения при подключенных корректирующих обмотках;
 - m) отключить ток;

п) вынуть измерительную катушку из магнита.

2. Холловские измерения (программа Hall):
 - a) установить каретку с холловскими датчиками в центр магнита;
 - b) выполнить измерения G(S)/S(S) с шагом 10 Ампер от 20 до 150 А – 5 полуциклов;
 - c) записать полученные данные в файл QAnn_hys.fld, SRnn_hys.fld;
 - d) отключить ток и убрать каретку с датчиками.

5) Снятие магнита со стенда.

1. Убрать измерительную катушку, предварительно сняв сильфонные муфты, освободив и убрав измеритель угла (кодер).
2. Раскоммутировать магнит от электропитания и охлаждаемой воды.
3. Ослабить толкатель на стороне коммутации магнита. Отталкать магнит толкательями, установленными на противоположной стороне, так, чтобы “ключи” отошел от поверхности шпоночного паза гирдера.
4. Снять магнит с гирдера с помощью домкратов и крана, прижимая магнит к толкателям, установленным у забора во время подъема магнита.
5. Переместить магнит на свободное место на территории СМИ.
- 6) Обработка магнитных измерений.
 1. Трансформировать fld-файл измерений Холловскими датчиками в dat-файл, убрав „шапку“.
 2. Запустить MCAD программу обработки магнитных измерений, предварительно записанных в каждую директорию магнита, и в соответствующих полях ввести необходимые значения измеренных температур.
 3. Изменить в файле имени (номера магнитов) и получить оформленные страницы готового паспорта. Данные паспорта также записываются в файл.
 4. Распечатать паспорт.

Приложение 2

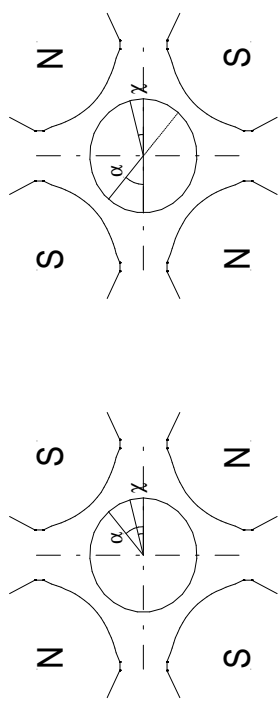
Калибровка измерительной катушки

Существуют два способа калибровки:

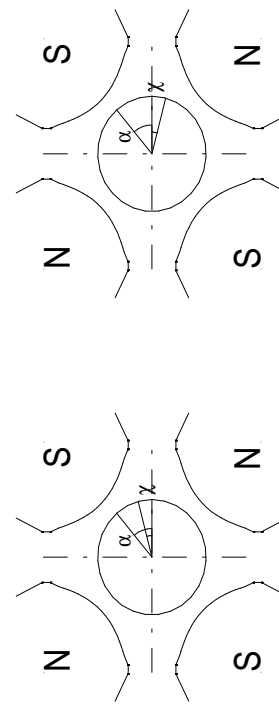
- 1) поворот магнита вокруг вертикальной оси на 180 градусов;
- 2) двойной переворот катушки (вокруг вертикальной оси на 180 градусов и поворот вокруг продольной оси на 180 градусов).

Принцип калибровки заключается в двойном измерении при исключении влияния угла магнита.

Поворот магнита вокруг вертикальной оси не изменяет измерительную систему и позволяет использовать измерительную программу в полном объеме, но увеличивает время на данную процедуру и меняет боковую поверхность штрафонного паза, к которой прижимается мультипол. Для измерения угла это несущественно.



Положение измерительной катушки в апертуре мультиполя при повороте магнита



Положение измерительной катушки в апертуре мультиполя при двойном повороте катушки.

При повороте измерительной катушки невозможно проводить математическую обработку результатов измерений самой измерительной программой. Для окончательного результата требуется использовать программу обработки специально написанную в MCADe.
 α – угол между магнитной и механической плоскостями мультиполя (roll angle).

χ – угол между механической и электрической плоскостями измерительной катушки.

Φ – угол между электрической плоскостью измерительной катушки и магнитной плоскостью мультиполя.

Для обоих способах калибровки:

$$\chi = 1/2 \cdot (\Phi_2 - \Phi_1),$$

$$\alpha = 1/2 \cdot (\Phi_1 + \Phi_2).$$

Полученный угол катушки, необходимо вписать в измерительную программу и использовать для соответствующего типоразмера мультиполей.

Приложение 3

Усилитель-коммутатор

На 8 входов усилителя-коммутатора поступают сигналы со всех секций катушки. Секции катушек коммутируются 8 способами: левые секции; правые секции; левые+правые секции; большие или малые секции. При измерениях мультиполя различных типов (секступоль, квадруполь) включается соответствующая компенсация (коэффициент усиления сигналов с малых секций для квадруполов в 2 раза меньше, чем для секступолов).

В каждом канале имеется 4 градации коэффициента усиления: 10, 100, 1000, 10000.

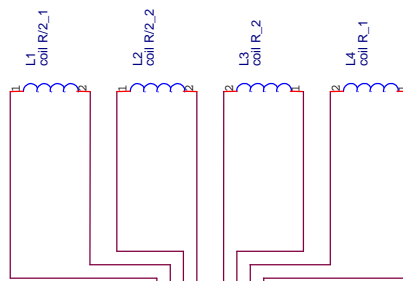
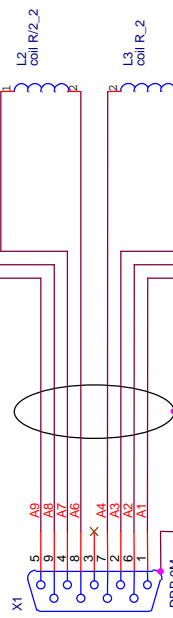


Схема усилителя-коммутатора:



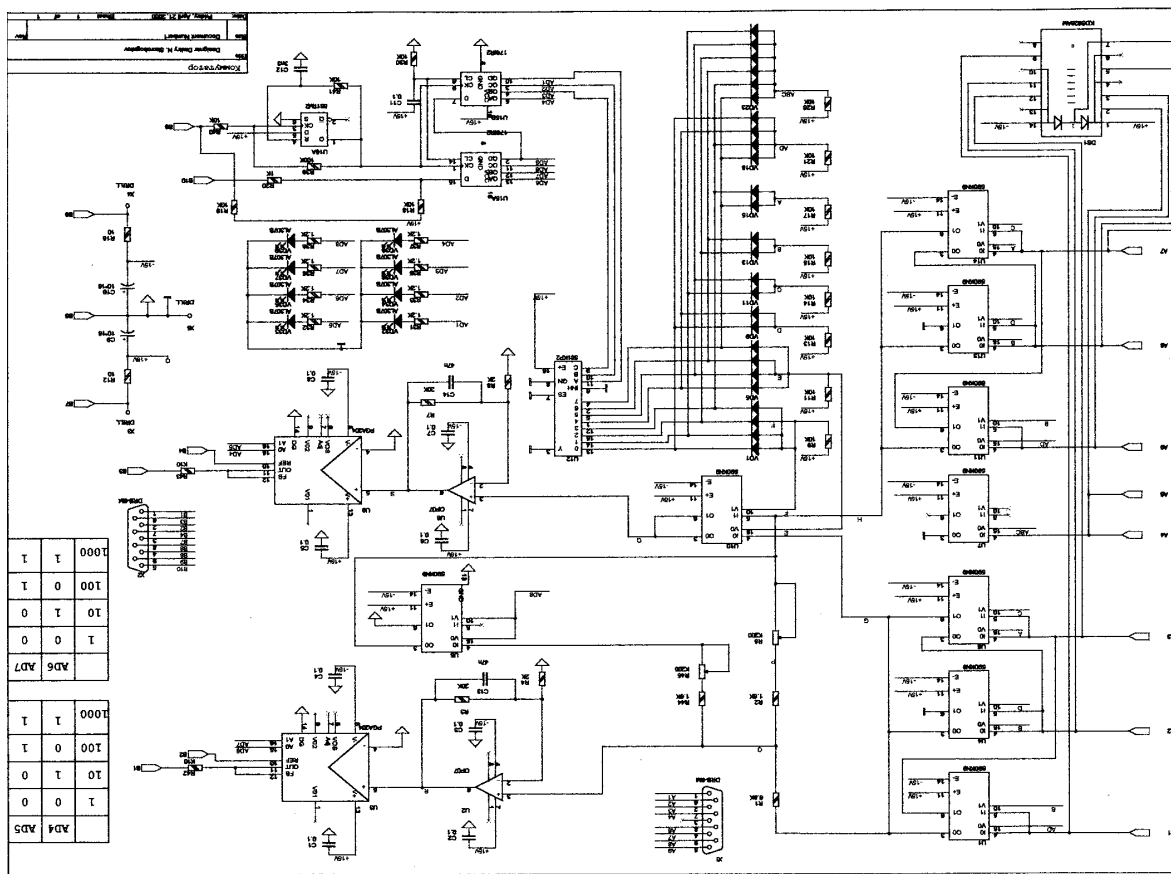
Приложение 4

Описание программы

Данная программа предназначена для управления системой измерения магнитных элементов вращающимися катушками. Она устанавливает ток в магните, управляет вращением катушки (ее скорость, ускорением и т.д.), контролирует угловое положение катушки, снимает оцифрованное напряжение с катушки и записывает результаты измерений в файл. Также она может производить математическую обработку результатов и рассчитывать коэффициенты разложения поля элемента в ряд по пространственным гармоникам. Существует возможность загружать результаты предыдущих измерений из файлов и обрабатывать их.

Перед началом измерений необходимо установить ряд параметров, влияющих на ход измерений, и отконфигурировать оборудование:

1. В пункте меню Device→Coils надо установить геометрические параметры катушки.
 - 1.1 Поле ввода Radius outside big содержит размер катушки полного радиуса по внешнему краю.
 - 1.2 Поле ввода Radius outside small содержит толщину катушки полного радиуса.
 - 1.3 Поле ввода Radius inside big содержит размер катушки половинного радиуса по внешнему краю.
 - 1.4 Поле ввода Radius inside small содержит толщину катушки половинного радиуса.
 - 1.5 Поле ввода Radius for normalization содержит радиус нормализации гармоник.
- 1.6 Поле ввода Angle offset содержит угол между плоскостью витков катушки и плоскостью основания, на которое устанавливается уровень.
- 1.7 Поле ввода Coefficient содержит коэффициент для расчета абсолютного значения основной гармоники поля.
2. В пункте меню Device→ACR установить параметры АЦР: время оцифровывания и пределы измерения для двух каналов (время одинаково для обоих каналов и вводится одним параметром).
 - 2.1 Поле ввода Diff signal содержит предел измерения первого канала АЦР.
 - 2.2 Поле ввода Main signal содержит предел измерения первого канала АЦР.
 - 2.3 Поле ввода Input time содержит время измерения обоих каналов АЦР.



3. В пункте меню Device→USD установить параметры работы шагового двигателя.
 - 3.1 Поле ввода Acceleration содержит ускорение шагового двигателя (в количестве шагов в секунду за миллисекунду).
 - 3.2 Поле ввода Frequency содержит частоту шагового двигателя (в количестве шагов в секунду).
 - 3.3 Поле ввода Number of turns содержит количество квантов движения катушки. Произведение этого параметра на предыдущий не должно быть меньше 10000, иначе катушка не совершил полного оборота.
 4. В пункте меню Device→Connect установить схему коммутации катушек.
 - 4.1 Основной флаг 1th включает катушку первой (у кодера) секции.
 - 4.2 Основной флаг 2th включает катушку второй (у двигателя) секции.
 - 4.3 Основной флаг 1th+2th включает катушки первой и второй секции на разность.
 - 4.4 Основной флаг 1th+2th включает катушки первой и второй секции на сумму.
 - 4.5 Дополнительный флаг Main from full radius подключает к каналу основного сигнала катушку полного радиуса. Иначе используется катушка половинного радиуса.
 - 4.6 Дополнительный флаг Quadrupole's compensation подключает в схеме компенсации резистор для квадрупольного поля. Иначе используется резистор для сектупольного поля.
- После окончания конфигурирования оборудования необходимо установить начальные параметры катушки и измеряемого элемента.
1. В пункте меню Manual→Set normalization задаются параметры цикла нормализации измеряемого элемента, который необходимо произвести перед началом измерений. В цикле нормализации ток в магнитном элементе поднимается от минимального до максимального за заданное количество шагов и затем таким же образом опускается до минимального.
 - 1.1 Поле ввода Minimum current содержит минимальный ток цикла нормализации.
 - 1.2 Поле ввода Time of step содержит время одного шага цикла нормализации.
 - 1.3 Поле ввода Number of step содержит количество шагов цикла нормализации.

- 1.4 Поле ввода Number of cycles содержит количество циклов нормализации.
 - 1.5 Поле ввода Maximum current содержит максимальный ток цикла нормализации.
 - 1.6 Поле ввода Set current содержит ток в элементе после цикла нормализации.
 2. В пункте меню Manual→Set current задается ток в измеряемом элементе после нормализации, данный пункт меню содержит единственное поле ввода, в котором задается ток в элементе в амперах.
 3. В пункте меню Manual→Set position возможно задать начальное положение катушки перед началом измерения. Пункт меню содержит четыре поля расположенных в виде таблицы, которые позволяют задавать новое положение катушки относительно старого либо в квантах движения катушки, либо в шагах двигателя. Так же можно задать абсолютное положение катушки относительно нулевого положения.
 4. В пункте меню Manual→Set zero устанавливается нулевое положение катушки, которое должно совпадать с медианной плоскостью измеряемого элемента и устанавливается с помощью механического уровня. Первоначально нулевым является положение катушки, в котором она находилась при запуске данной программы, выбор этого пункта меню позволяет изменить это положение не выходя из программы.
 5. В пункте меню Manual→Step out дается возможность использовать отдельно каждый квант движения катушки, эта возможность используется для отладочных целей и в процессе измерения обычно не используется.
- После выше изложенных действий можно начинать процесс измерения инициализировав его выбором пункта меню Run→Run. В ходе измерения в зависимости от установленных флагов пункта меню Window→Window на дисплее будут отображаться напряжения основного и дифференциального сигналов, текущие показания измерителя угла поворота и относительное отклонение угла от среднего для каждого кванта движения катушки. По окончании процесса измерения на дисплее отображается график интегралов напряжений основного и дифференциального сигналов в зависимости от угла поворота катушки.
- Теперь для математической обработки сигнала необходимо выбрать пункт меню Math→Spline (при этом на дисплее рядом с ординальными

сигналами красного цвета появляется их сплайн аппроксимация зеленого цвета) и затем выбрать пункт меню Math→Harmonic, который производит Фурье преобразование полученной выше аппроксимации. Результатом этих действий будет появление окна с коэффициентами пространственных гармоник магнитного поля. В этом окне B[2] есть амплитуда основной гармоники умноженная на коэффициент катушки из меню Device→Coils-Coefficient, Roll angle есть смещение магнитной медианной плоскости относительно механической, значения Axis shift X и Axis shift Y смещение магнитной оси симметрии поля относительно по координатам X и Y механической оси симметрии элемента таблица гармоник поля соответственно. Далее, слева расположена таблица гармоник поля вычисленных из основного сигнала, а справа из дифференциального. Данные полученные при измерении можно сохранить в файл. Для этого надо выбрать пункт меню File→Save и сохранить файл под нужным именем.

Сохраниенные ранее файлы можно открывать с помощью пункта меню File→Open. Открыв файл, надо заново произвести математическую обработку данных (как описывалось выше), чтобы получить коэффициенты гармоник.

В программе так же существует возможность распечатки отдельных окон на стандартном матричном принтере. Для этого надо встать на требуемое окно и выбрать пункт меню Print→Window print.

Выход из программы осуществляется с помощью пункта меню File→Exit

- ### Приложение 5
- #### Выставка механики и его проверка
- Установить индикаторы на стойках и выставить на глубину 4,500 мм для средины шкалы (1 мм) с помошью концевых мер*.
 - Промыть рабочие поверхности гирдера (шпоночный паз, установочные поверхности).
 - Установить толкатели с удлиненными пружинными головками со стороны стенда.
 - Открыть ящики и достать шаблоны. Промыть поверхности шаблонов (основания, шпоночные вставки).
 - Установить шаблоны на гирдер (вдвоем) на расстоянии 30 мм от края гирдера.
 - Вставить разрезную шпонку в шпоночный паз гирдера под шаблоны, предварительно ее промыть.

- Прижать шаблоны к поверхности разрезной шпонки толкателями (порядка 5-6 оборотов ключа, затем отпустить полностью, затем 1 оборот от свободного касания).
 - Открыть ящик и достать вал. Промыть рабочие поверхности вала.
 - Установить вал на призмы шаблонов.
 - Проконтролировать показатели индикаторов.
 - Проверить размеры между валом и призмами стоек с помощью концевых мер.
 - Провести коррекцию выставки, если понадобится (должно быть по 4,500 мм для всех зазоров на стенде в ИЯФе).
 - Необходимо помнить, что из-за особенностей геометрических размеров шаблонов и вала, ось по шаблону смещена относительно оси (15,000 мм; 377,000 мм) на 7,0 мкм вверх и на 7,0 мкм в сторону забора.
 - В PSI призмы стоек выставлены под положение оси (15,000 мм; 377,000 мм), и зазоры между валом и призмами стоек следующие:
#1 (+1), #2 (-4), #3 (+9), #4 (-9) относительно 4,500 мм.
 - Снять вал с призм и поставить в ящик.
 - Отдвинуть шаблоны от разрезной шпонки, ослабив толкатели.
 - Вынуть разрезные шпонки.
 - Снять шаблоны с гирдера (вдвоем) и положить их в ящики.
- Особая аккуратность при установки и снятии шаблонов и вала. Берегите рабочие поверхности гирдера, шаблонов и вала

Приложение 6

Проблема стационарности магнитных измерений

Напряжение, индуцируемое в катушке:

$$U = - \frac{d\Phi}{dt} = - \frac{d}{dt} \left(\int B \cdot dS \right)$$

В общем случае существуют временные зависимости:

$$U = -L \frac{d}{dt} \sum_n \left(-A_n(t) \cdot \sin(n\theta(t)) + B_n(t) \cdot \cos(n\theta(t)) \right) \frac{R_0(t)^n - R_i(t)^n}{n},$$

где $R_0(t)$, $R_i(t)$ – внешний и внутренний размеры измерительной катушки, которые могут меняться из-за механических вибраций.

$R = R_0(t) - R_i(t)$ – радиальный размер катушки

В общем случае $R_i(t) = \rho \cdot \sin(\xi \cdot t + \alpha)$.

Гармонические коэффициенты ($A_n(t)$, $B_n(t)$) могут изменяться по времени из-за нестабильности магнитного поля и изменения размеров мультипола за время измерения.

Угловая зависимость от времени связана с методом измерения: пошаговый или с постоянной скоростью $\theta(t) = \omega t$.

При постоянной скорости вращения:

$$U_c = -L \cdot \sum_n (A_n^*(t) \cdot \cos(n\omega t) + B_n^*(t) \cdot \sin(n\omega t)) \cdot R_0^n(t), \quad (1)$$

$$\begin{aligned} A_n^*(t) &= \frac{B_n(t)}{R_0(t)} \cdot \frac{dR(t)}{dt} \left(1 - \frac{R_i^{n-1}(t)}{R_0^{n-1}(t)} \right) + \frac{1}{n} \cdot \frac{dB_n(t)}{dt} \left(1 - \frac{R_i^n(t)}{R_0^n(t)} \right) - A_n(t) \cdot \omega \left(1 - \frac{R_i^n(t)}{R_0^n(t)} \right), \\ B_n^*(t) &= \frac{A_n(t)}{R_0(t)} \cdot \frac{dR(t)}{dt} \left(1 - \frac{R_i^{n-1}(t)}{R_0^{n-1}(t)} \right) + \frac{1}{n} \cdot \frac{dA_n(t)}{dt} \left(1 - \frac{R_i^n(t)}{R_0^n(t)} \right) - B_n(t) \cdot \omega \left(1 - \frac{R_i^n(t)}{R_0^n(t)} \right). \end{aligned}$$

При пошаговом вращении катушку напряжение измеряется внутри шага и затем суммируется (~ 4000 точек):

$$I(\theta + d\theta) = \sum_k U_s = -L \cdot \sum_k \left(A_n^*(t) \cdot \cos(n\theta(t)) + B_n^*(t) \cdot \sin(n\theta(t)) \right) \cdot R_0^n(t).$$

В тоже время при интегрировании по времени получаем:

$$\begin{aligned} I &= \int dt \cdot U_s = -L \cdot \int dt \left(A_n^{**}(t) \cdot \cos(n\theta(t)) + B_n^{**}(t) \cdot \sin(n\theta(t)) \right) \cdot R_0^n(t) \cdot dt, \\ I(\theta + d\theta) &= -L \cdot \sum_n \left(A_n^{**}(\theta + d\theta) \cdot \cos(n(\theta + d\theta)) + \right. \\ &\quad \left. + B_n^{**}(\theta + d\theta) \cdot \sin(n(\theta + d\theta)) \right) \cdot R_0^n(\theta + d\theta), \end{aligned}$$

$$\begin{aligned} A_n^{**}(\theta + d\theta) &= \frac{B_n(\theta + d\theta)}{R_0(\theta + d\theta)} \cdot \left(R_0(\theta + 2d\theta) - R_0(\theta) \right) \cdot \left(1 - \frac{R_i^{n-1}(\theta + d\theta)}{R_0^{n-1}(\theta + d\theta)} \right) + \\ &\quad + \frac{1}{n} \left(B_n(\theta + 2d\theta) - B_n(\theta) \right) \left(1 - \frac{R_i^n(\theta + d\theta)}{R_0^n(\theta + d\theta)} \right) - A_n(\theta + d\theta) \frac{\sin(n \cdot d\theta)}{n} \left(1 - \frac{R_i^n(\theta + d\theta)}{R_0^n(\theta + d\theta)} \right), \\ B_n^{**}(\theta + d\theta) &= \frac{A_n(\theta + d\theta)}{R_0(\theta + d\theta)} \cdot \left(R_0(\theta + 2d\theta) - R_0(\theta) \right) \cdot \left(1 - \frac{R_i^{n-1}(\theta + d\theta)}{R_0^{n-1}(\theta + d\theta)} \right) - \\ &\quad - \frac{1}{n} \cdot \left(A_n(\theta + 2d\theta) - A_n(\theta) \right) \left(1 - \frac{R_i^n(\theta + d\theta)}{R_0^n(\theta + d\theta)} \right) + B_n(\theta + d\theta) \frac{\sin(n \cdot d\theta)}{n} \left(1 - \frac{R_i^n(\theta + d\theta)}{R_0^n(\theta + d\theta)} \right). \end{aligned}$$

Рассмотрим подробнее влияние различных факторов на точность измерения.

Основной вклад в искажение в гармоники вносит основная компонента магнитного поля (B_2 – в квадрополях и B_3 – в сектуполях).

Оценим значение гармоник без влияния нижеперечисленных причин.

При равномерном вращении:

$$\begin{aligned} A_n^*(t) &= -A_n(t) \cdot \omega \left(1 - \frac{R_i^n(t)}{R_0^n(t)} \right) \approx -A_n(t) \cdot \omega, \\ B_n^*(t) &= -B_n(t) \cdot \omega \left(1 - \frac{R_i^n(t)}{R_0^n(t)} \right) \approx B_n(t) \cdot \omega. \end{aligned}$$

При пошаговом вращении:

$$A_n^{**}(\theta + d\theta) = -A_n(\theta + d\theta) \frac{\sin(n \cdot d\theta)}{n} \left(1 - \frac{R_i^n(\theta + d\theta)}{R_0^n(\theta + d\theta)} \right) \approx -A_n(\theta + d\theta) \frac{\sin(n \cdot d\theta)}{n},$$

$$B_n^{**}(\theta + d\theta) = B_n(\theta + d\theta) \frac{\sin(n \cdot d\theta)}{n} \left(1 - \frac{R_i^n(\theta + d\theta)}{R_0^n(\theta + d\theta)} \right) \approx B_n(\theta + d\theta) \frac{\sin(n \cdot d\theta)}{n}.$$

1) Механические причины (вибрации, колебания)

$$R_i(t) = \rho \cdot \sin(\xi \cdot t + \alpha),$$

$$\frac{dR_i(t)}{dt} = \rho \cdot \xi \cdot \cos(\xi \cdot t + \alpha),$$

где α – начальный угол.

2) Нестабильность источника питания.

$$\begin{aligned} B_m(t) &= B_m(1 + f(t)), \text{ где } m \text{ – номер основной гармоники,} \\ f(t) &= \beta \cdot \sin(vt + \chi), \quad \frac{dB_m(t)}{dt} = \beta \cdot v \cdot B_m \cdot \cos(vt + \chi), \end{aligned}$$

где χ – начальный угол.

Сделаем оценки для равномерного вращения:

$$\begin{aligned} A_n(\theta + d\theta) &= \frac{A_n(\theta + d\theta)}{R_0(\theta + d\theta)} \cdot \left(R_0(\theta + 2d\theta) - R_0(\theta) \right) \cdot \left(1 - \frac{R_i^{n-1}(\theta + d\theta)}{R_0^{n-1}(\theta + d\theta)} \right) - \\ &\quad - \frac{1}{n} \cdot \left(A_n(\theta + 2d\theta) - A_n(\theta) \right) \left(1 - \frac{R_i^n(\theta + d\theta)}{R_0^n(\theta + d\theta)} \right) + B_n(\theta + d\theta) \frac{\sin(n \cdot d\theta)}{n} \left(1 - \frac{R_i^n(\theta + d\theta)}{R_0^n(\theta + d\theta)} \right). \end{aligned}$$

$$\begin{aligned}
A_n^*(t) &= \frac{B_n(t)}{R_0(t)} \cdot p\xi \cdot \cos(\xi t + \alpha) \cdot \left(1 - \frac{R_i^{n-1}(t)}{R_0^n(t)} \right) + \frac{1}{n} \cdot \beta v B_m \cdot \cos(\beta t + \chi) \cdot \left(1 - \frac{R_i^n(t)}{R_0^n(t)} \right) - \\
&- A_n(t) \cdot \omega \left(1 - \frac{R_i^n(t)}{R_0^n(t)} \right) \approx \frac{B_n(t)}{R_0(t)} \cdot p\xi \cdot \cos(\xi t + \alpha) + \frac{1}{n} \cdot \beta v B_m \cdot \cos(\beta t + \chi) - A_n(t) \cdot \omega, \\
B_n^*(t) &= \frac{A_n(t)}{R_0(t)} \cdot p\xi \cdot \cos(\xi t + \alpha) \cdot \left(1 - \frac{R_i^{n-1}(t)}{R_0^{n-1}(t)} \right) - \frac{1}{n} \cdot \beta v A_m \cdot \cos(\beta t + \chi) \cdot \left(1 - \frac{R_i^n(t)}{R_0^n(t)} \right) + \\
&+ B_n(t) \cdot \omega \left(1 - \frac{R_i^n(t)}{R_0^n(t)} \right) \approx \frac{A_n(t)}{R_0(t)} \cdot p\xi \cdot \cos(\xi t + \alpha) - \frac{1}{n} \cdot \beta v A_m \cdot \cos(\beta t + \chi) + B_n(t) \cdot \omega.
\end{aligned}$$

$$\begin{aligned}
A_n^*(t) &\approx \frac{B_n(t)}{R_0(t)} \cdot p\xi \cdot \cos(\xi t + \alpha) \cdot \cos(n\omega t) + \\
&+ \frac{1}{n} \cdot \beta v B_m \cdot \cos(\beta t + \chi) \cdot \cos(n\omega t) - A_n(t) \cdot \omega \cos(n\omega t),
\end{aligned}$$

$$\begin{aligned}
B_n^*(t) &\approx \frac{A_n(t)}{R_0(t)} \cdot p\xi \cdot \cos(\xi t + \alpha) \cdot \sin(n\omega t) - \\
&- \frac{1}{n} \cdot \beta v A_m \cdot \cos(\beta t + \chi) \cdot \sin(n\omega t) + B_n(t) \cdot \omega \sin(n\omega t).
\end{aligned}$$

В итоге:

$$\begin{aligned}
A_n^*(t) \cdot \cos(n\omega t) &\approx \frac{1}{2} \frac{B_n(t)}{R_0(t)} \cdot p\xi \cdot (\cos((\xi + n\omega)t) \cdot \cos \alpha - \sin((\xi + n\omega)t) \cdot \sin \alpha + \\
&+ \cos((\xi - n\omega)t) \cdot \cos \alpha - \sin((\xi - n\omega)t) \cdot \sin \alpha) + \\
&+ \frac{1}{2} \frac{1}{n} \cdot \beta v B_m \cdot ((\cos((\beta + n\omega)t) \cdot \cos \chi + \sin((\beta + n\omega)t) \cdot \sin \chi + \\
&+ \cos((\beta - n\omega)t) \cdot \cos \chi + \sin((\beta - n\omega)t) \cdot \sin \chi) - A_n(t) \cdot \omega \cos(n\omega t)), \\
B_n^*(t) \cdot \cos(n\omega t) &\approx \frac{1}{2} \frac{A_n(t)}{R_0(t)} \cdot p\xi \cdot (\sin((n\omega + \xi)t) \cdot \cos \alpha - \cos((n\omega + \xi)t) \cdot \sin \alpha + \\
&+ \sin((n\omega - \xi)t) \cdot \cos \alpha - \cos((n\omega - \xi)t) \cdot \sin \alpha) - \\
&- \frac{1}{2} \frac{1}{n} \cdot \beta v A_m \cdot ((\sin((n\omega + \beta)t) \cdot \cos \chi + \cos((n\omega + \beta)t) \cdot \sin \chi + \\
&+ \sin((n\omega - \beta)t) \cdot \cos \chi + \cos((n\omega - \beta)t) \cdot \sin \chi) + B_n(t) \cdot \omega \sin(n\omega t)).
\end{aligned}$$

В итоге появляются от механических причин дополнительные гармоники с частотами, близкими к $\xi + m\omega$ и $\xi - m\omega$ и амплитудами:

$$\begin{aligned}
B_{ac}^*(t) &\propto \frac{1}{2} \frac{A_n(t)}{R(t)} \cdot p\xi \cdot (\sin((n\omega + \xi)t) \cdot \cos \alpha + \sin((n\omega - \xi)t) \cdot \cos \chi) + B_n(t) \cdot \omega \sin(n\omega t) + \\
&- \frac{1}{2} \frac{1}{n} \cdot \beta v A_m \cdot (\sin((n\omega + \beta)t) \cdot \cos \chi + \sin((n\omega - \beta)t) \cdot \cos \alpha) + \\
&+ \frac{1}{2} \frac{B_n(t)}{R_0(t)} \cdot p\xi \cdot (-\sin((\xi + n\omega)t) \cdot \sin \alpha - \sin((\xi - n\omega)t) \cdot \sin \chi) + \\
&+ \frac{1}{2} \frac{1}{n} \cdot \beta v B_m \cdot (\sin((\beta + n\omega)t) \cdot \sin \chi + \sin((\beta - n\omega)t) \cdot \sin \chi) \approx \\
&\approx B_n(t) \cdot \omega \sin(n\omega t) + \frac{1}{2} \frac{B_n(t)}{R(t)} \cdot p\xi \cdot (-\sin((\xi + n\omega)t) \cdot \sin \alpha - \sin((\xi - n\omega)t) \cdot \sin \alpha) + \\
&+ \frac{1}{2} \frac{1}{n} \cdot \beta v B_m \cdot (\sin((\beta + n\omega)t) \cdot \sin \chi + \sin((\beta - n\omega)t) \cdot \sin \chi),
\end{aligned}$$

$$A_{mc}^* = \frac{1}{2} \frac{B_m}{R} \cdot p\xi,$$

В итоге появляются от электрических причин дополнительные гармоники с частотами, близкими к $\omega + m\omega$ и $\omega - m\omega$ и амплитудами:

$$A_e^*(t) = \frac{1}{2} \frac{1}{m} \cdot \beta v B_m, \quad B_e^*(t) = -\frac{1}{2} \frac{1}{m} \cdot \beta v B_m.$$

Оценим влияние на точности восстановления гармоник для характеристических величин:

- 1) Механика

А) Малые колебания (вал катушки внутри ролика, колебание катушки при вращении) – частота порядка 100 для квадруполя и ~ 200 для сектуполей и ~ 5 мкм (зазор между валом и роликом $\sim 1 - 2$ мкм). Амплитуда колебания гармоник $\sim 1.6 \cdot 10^{-4}$ для квадруполя и $\sim 3 \cdot 2 \cdot 10^{-4}$ – для сектуполей. При усреднении имеем максимальную погрешность $\sim 1.6 \cdot 10^{-5}$, учитывая отношения длительности основного и паразитного сигналов ($1/10$ и $1/20$ соответственно). Способ борьбы: точные размеры и подбор параметров вращения катушки для уменьшения колебаний и вибраций.

Б) Одиночный дегр ~ 100 мкм ($3 \cdot 10^{-3}$) и амплитуда колебания $\sim 1.5 \cdot 10^{-3}$ и погрешность в зависимости от длительности помехи может достигать величины $\sim 2 \cdot 10^{-4}$ при 5 градусном дегр. Способ борьбы:

соосность вращающихся частей посредством муфт, прижим ролика к опорной поверхности стойки.

То есть величина погрешности от механических причин не превышает $(0.2 \pm 0.4) \cdot 10^{-4}$.

2) Магнитное поле

А) нестабильность при высоких частотах (менее 10 и 20 кратных)

Нестабильность $\sim 10^{-4}$ и амплитуда колебания $\sim 2.5 \cdot 10^{-4}$ для квадрополей и $3.3 \cdot 10^{-4}$ для сектуполей. Погрешность $\sim 2.5 \cdot 10^{-5}$ для квадрополей и $1.6 \cdot 10^{-5}$ для сектуполей.

Б) нестабильность на низких частотах ~ 0 и погрешность $\sim 2.5 \cdot 10^{-5}$ для колебаний гармоник низкого порядка ~ 0 и погрешность $\sim 2.5 \cdot 10^{-4}$ для квадрополей и $1.6 \cdot 10^{-5}$ для сектуполей.

Редкие значительные изменения величины $(2 \pm 5) \cdot 10^{-4}$ гармоник низкого порядка (3, 4) при повторных измерениях могут объясняться всплесками тока питания источника из-за проблем в сети (неустойчивость $\sim 10^{-3}$ на частотах порядка 0.05 ± 0.1 Гц).

Пошаговое вращение отличается от равномерного тем, что усреднение происходит внутри каждого шага путем интегрирования (суммирования). Оценка погрешностей аналогична предыдущей.

Временная зависимость магнитного поля, связанная с изменением параметров мультиполя, в первую очередь размеров. Одной из причин может быть нагрев (охлаждение) магнита катушками и вследствии этого возникновения градиента температур внутри магнита.

$$B_m(t) = B_m(1 + f(t)).$$

Известно, что связь между апертурой мультиполя и силой магнитного поля

$$G = B_2 = 2\mu \frac{IW}{R^2} \quad \text{для квадрополя}, \quad S = B_3 = 3\mu \frac{IW}{R^3} \quad \text{для сектуполя}.$$

$R = R_0(1 - \chi \cdot dT)$ – изменение апертуры (расстояние от оси мультиполя до полюса) от температуры $R_0 = L - L_1$, $\chi = \frac{\alpha L_1}{R_0}$, где α – коэффициент линейного расширения мультиполя, L_1 – длина полюса, R_0 – начальная апертура.

Изменение магнитного поля:

$$B_q = B_2 / (1 - \chi \cdot dT)^2 = 2B_2 \cdot \chi \cdot dT \quad \text{для квадрополя},$$

$$\frac{dB}{dt} = 2B_2 \cdot \chi \frac{dT}{dt};$$

$$B_s = B_3 / (1 - \chi \cdot dT)^3 = 3B_3 \cdot \chi \cdot dT \quad \text{для сектуполя},$$

$$\frac{dB}{dt} = 3B_3 \cdot \chi \frac{dT}{dt}.$$

Это приводит к изменению скью компоненты магнитного

$$dA_n^* = -\frac{1}{2} \frac{dB_n(t)}{dt},$$

$$dA_q^* = -\frac{1}{2} \frac{dB_2(t)}{dt} = -\frac{1}{2} 2B_2 \cdot \chi \frac{dT}{dt} = -B_2 \cdot \chi \frac{dT}{dt} \quad \text{для квадрополя и}$$

изменение угла:

$$d\Phi_q = \frac{dA_2^*}{B_2} = -\frac{\chi}{\omega} \frac{dT}{dt},$$

$$dA_3^* = -\frac{1}{3} \frac{dB_3(t)}{dt} = -\frac{1}{3} 3B_3 \cdot \chi \frac{dT}{dt} = -B_3 \cdot \chi \frac{dT}{dt} \quad \text{для сектуполя}$$

изменение угла:

$$d\Phi_s = \frac{dA_3^*}{B_3} = -\frac{\chi}{\omega} \frac{dT}{dt}.$$

$$d\Phi = -\frac{\chi}{\omega} \frac{dT}{dt} = -\frac{75 \cdot 10^{-6}}{2\pi / 100} \frac{10}{100},$$

измерений ($dT \sim 10^\circ$, $t \sim 100$ сек):

$$d\Phi \sim 0.12 \text{ mrad}.$$

Мощность питания катушек мультиполя каждого типа:
 $QA = 2.5 \text{ kWt}$, $QB = 3.2 \text{ kWt}$, $QC = 4.0 \text{ kWt}$, $SR = 1.4 \text{ kWt}$.

И относительная мощность с учетом размеров и количества полюсов:
 $SR \sim 0.23 \text{ kWt}$, $QA \sim 0.44 \text{ kWt}$, $QB \sim 0.36 \text{ kWt}$, $\chi \sim 0.32 \text{ kWt}$.
 Следовательно, действительно уход угла должен быть максимальным для QA и минимальным для SR , что и видно из сравнения измерений.
 Были проведены эксперименты по изучению влияния температуры магнита на положение магнитной оси и угла магнитной плоскости.

1. Стационарная температура.
- При стационарном распределении температур по объему магнита угол не изменяется, а вертикальное положение оси связано с

температурой согласно вышеприведенной поправкой. Сравнительная таблица приводится ниже (QA39).

$T, C \backslash$	$\Delta X, mm$	$\Delta Y_{exp}, mm$	$\phi, mrad$	$\Delta Y_{calc}, mm$
20.4	13	22	-0.08	23
24.6	12	22	-0.09	23
25.3	14	25	-0.12	24

2. Градиент температур (QA41).

При наличие температурного градиента в объеме магнита, вызываемого в первую очередь нагревом основными обмотками при недостаточном охлаждении водой, наблюдается изменение измеряемого угла магнитной плоскости мультиполя. В этом случае эффект обусловлен особенностями измерений мультиполия «вращающейся» катушкой.

Во время вращения измерительной катушки происходит линейное расширение полюсов магнита, они вдвигаются внутрь и апертура уменьшается. T_t, T_b – температуры полюса и основного тела мультиполя.

No	$T_t, C \backslash <T>, C \backslash$	$T_b, C \backslash$	$\Delta X, mm$	$\Delta Y, mm$	$\phi, mrad$
0	20.9	20.9	20.9	24	30
1	22.3	21.3	20.9	20	28
2	23.0	21.3	21.3	21	26
3	23.4	21.5	21.4	21	27
4	22.6	21.8	21.4	23	29
5	22.0	21.7	21.4	22	30
6	22.0	21.7	21.5	23	29

Полученные выше оценки дают заниженные результаты на изменение угла, что может объясняться тем, что коэффициент линейного расширения в первую очередь определяется kleem между пластинами.